

Sol-Gel법에 의한 Thermochromic 박막 제조

장원식 · 김석범 · 강승구 · 조동수*

경기대학교 재료공학과

*인하대학교 기기분석실

(1997년 9월 23일 접수)

Fabrication of Thermochromic Thin Films by the Sol-Gel Method

Won-Sik Jang, Seok-Beom Kim, Seung-Gu Kang and Dong-Soo Joh*

Dept. of Materials Eng., Kyonggi Univ.

*Materials Analysis Laboratory, Inha Univ.

(Received September 23, 1997)

요 약

VO_2 박막의 합성조건이 thermochromic 스위칭 특성에 미치는 영향을 분석하기 위하여 알콕사이드법으로 VO_2 박막을 봉규산유리 기판위에 합성하였다. 스픬코팅으로 합성된 젤박막을 산화 열처리하여 V_2O_5 상으로 전이시킨 후, 이를 환원 처리하여 VO_2 상을 합성하였다. VO_2 박막의 스위칭 특성은 결정상 및 미세구조에 크게 좌우되었으며, 이들은 열처리 조건에 의해 제어될 수 있었다. 합성된 VO_2 박막은 2.5 μm 파장의 입사 광에 대하여 전이온도 63°C, 최대 및 최저투과율이 각각 84% 및 14%, 그리고 전이 폭이 3.6°C인 우수한 thermochromic 스위칭 특성을 나타내었다.

ABSTRACT

VO_2 thin films have been prepared on borosilicate glass substrate using alkoxide method to characterize the effects of fabricating factors on thermochromic performance. The gel films formed by spin coating were converted to V_2O_5 phase during oxidizing heat-treatment, and the VO_2 phase were formed by reducing heat-treatment. The thermochromic switching properties of VO_2 thin films are strongly affected by the crystal phase and microstructure, and those could be controlled by reducing heat-treatment conditions. The thermochromic switching characteristics of VO_2 thin films synthesized were measured at IR (2.5 μm) as the transition temperature of 63°C, the transition width of 3.6°C, and the maximum and minimum transmittance of 84% and 14% respectively.

Key words : Sol-Gel, VO_2 , Thermochromic, Transmittance, Transition, Switching, Thin film

1. 서 론

바나듐 산화물의 한 종류인 VO_2 는 주위 온도가 68°C 이상으로 되면 저온구조인 monoclinic에서 고온구조인 tetragonal로 상전이를 일으키며 2~3 μm 의 적외선 투과도가 급격히 감소하는 이른바 thermochromic 스위칭 현상을 나타낸다.^{1,2)} 이러한 VO_2 를 박막으로 제조하면 태양 광을 제어하여 실내온도가 자동 조절되는 창으로 응용할 수 있으므로 유리기판에 VO_2 박막을 합성하는 연구가 활발히 진행되고 있다.^{3~6)} 또한 VO_2 박막은 thermochromic 특성이외에도 전이 점에서 자성, 전기 전도도 등 여러 성질이 크게 변화되므로, 이를 응용하기 위한

연구가 국외에서는 활발히 진행중이다.^{5~11)} 이러한 연구로부터 VO_2 박막의 광학적 특성은 제조방법, 화학암륜성 및 미세구조에 큰 영향을 받는다는 것이 밝혀졌다. 최근에는 VO_2 박막의 스위칭 온도를 실온에 가깝게 낮추는 연구가 진행되고 있으며, 도핑제로는 W^{6+} , Mo^{6+} , Nb^{5+} 등의 높은 원자자를 갖는 금속이온이 사용된다고 보고되어 있다.^{12~14)}

기존의 VO_2 박막연구는 주로 reactive electron-beam evaporation, reactive ion-beam sputtering, rf magnetron sputtering 등의 방법을 이용하여 왔지만^{1,15,16)} 장치가 간단하지 않고, 불순물의 개입 위험이 항상 존재하며 대형 시편을 제조하기 어려운 단점이 있다. 용액법 중

의 하나인 줄-겔법에 의한 산화물 합성은 비교적 저온에서 합성이 가능하며, 합성된 산화물의 균질성이 뛰어나고, 순도가 높으면서도 기존 방법으로 제조된 시편의 특성과 유사하다는 등의 장점이 있다.⁵⁾

본 연구에서는 줄-겔법으로 VO_2 박막을 합성하고 합성된 VO_2 박막의 thermochromic 특성을 분석함으로써 바나듐 젤 박막의 최적 열처리 조건 및 V_2O_5 의 VO_2 로의 환원 열처리 조건을 규명하고자 한다.

2. 실험 방법

2.1. 출발물질 및 줄의 제조

VO_2 박막을 제조하기 위한 바나듐 알콕사이드로서 tri-isopropoxy vanadium(V) oxide ($\text{VO}(\text{OC}_2\text{H}_5)_3$, 99.95%, Aldrich Co.)를 선정하였다. 용매는 absolute extra pure ethanol (Merck Co.)을 사용하였고, 알콕사이드와 용매를 혼합할 때 급격한 수화반응을 막기 위하여 2,4-pentanedione($\text{CH}_3\text{COCH}_2\text{COCH}_3$, 99.0%, Showa Chemicals Co.)을 사용하였다.

바나듐 알콕사이드는 대기중의 수분과도 급격한 수화반응을 일으킬 정도로 민감하므로 본 실험에서는 줄 제조시 대기중 수분을 차단하기 위하여 N_2 분위기의 glove box 내에서 수행하였다. 바나듐 알콕사이드의 수화에 사용된 물은 3차 중류된 것으로 그 첨가량은 $\text{H}_2\text{O}/\text{VO}(\text{OC}_2\text{H}_5)_3$ 의 몰 비를 0~1.167 범위 내에서 변화시켰다.

2.2. 스판코팅 및 열처리 과정

박막을 코팅할 기판으로 봉규산 유리(7059 glass, Corning Co.)를 선정하고 이를 $2.5 \times 2.5 \times 1$ mm 크기로 가공하여 사용하였다. 대기중에서 4,000 rpm으로 회전하고 있는 기판위에 주사기를 사용하여 줄 용액을 0.3~0.5 mL를 떨어뜨린 후 300°C에서 산화시키는 과정을 4회 반복하여 약 500 nm 두께의 박막을 제조하였다.

코팅 및 300°C 열처리를 4회 반복하여 제조된 박막을 VO_2 로 환원시키기 위하여 10^{-3} Torr의 진공도를 유지하고 있는 투브로를 이용하여 N_2 분위기에서 500~650°C 범위에서 열처리하였다. 이때 승온속도와 냉각속도는 1°C/min로 하였으며 환원 과정의 열처리 스케줄을 Fig. 1에 도시하였다.

2.3. 특성 측정

적절한 열처리 온도를 구하기 위하여 TG/DTA를 측정하였다. 코팅된 상태로는 측정이 불가능하므로 제조된 줄을 80°C, 24시간 건조하여 얻은 젤 분말로 TG/DTA를 행하였다. 측정 장비는 Netzsch Simultan Co.의 Thermal Analyzer STA 409 EP를 이용하였다.

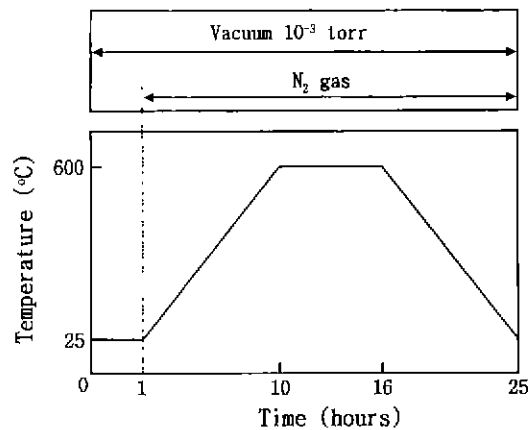


Fig. 1. Heat treatment schedule for reducing V_2O_5 to VO_2 .

산화와 환원 과정을 거친 박막의 두께는 ellipsometer를 이용하여 측정하였고, 상분석 및 결정화 정도를 알기 위하여 XRD(model PW1840, Philips Co.) 측정을, 박막 표면의 입자 형상 등을 관찰하기 위하여 SEM(Topcon-30E, Akashi Seisakusho Co.)을 이용하였다.

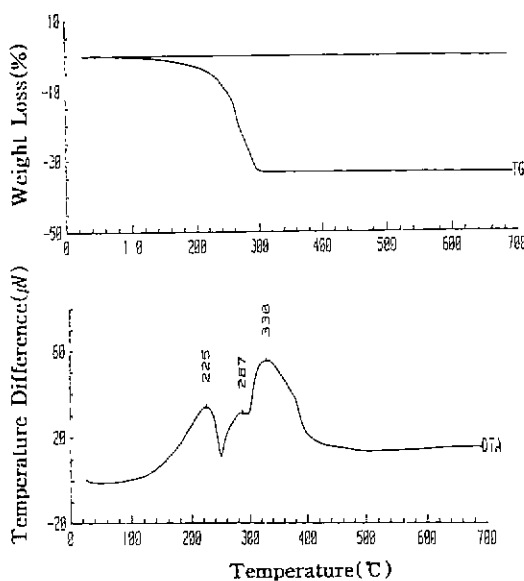
FT-IR(Spectrometer Model Magna-IR 550 Series II, Nicolet Co.)을 사용하여 2~3 μm 파장의 근적 외선에서의 온도별 투과율과 전이온도 및 전이 폭을 측정하였다. FT-IR 측정시 시편의 온도를 조절하기 위하여 물 순환 펌프 및 온도계어기를 자체 제작하여 부착하였다.

3. 결과 및 고찰

바나듐 알콕사이드를 수화시켜 안정한 줄을 만들고 이로부터 균일한 박막을 얻기 위한 조건을 규명하기 위해 물의 첨가량을 변화시켰다. $\text{H}_2\text{O}/\text{VO}(\text{OC}_2\text{H}_5)_3$ 의 몰비가 1.167 미만인 경우에는 스판 코팅시 wetting이 되지 않아 박막 형성이 어려웠으나 몰비가 1.167인 경우 기판표면에 대한 줄의 wetting성이 우수하여 균일한 박막을 얻을 수가 있었다.

일반적으로 바나듐 알콕사이드는 수화속도가 매우 빠르므로 제어하기 어렵다. 본 실험에서는 알콕사이드의 수화속도를 제어하기 위하여 acetylacetone을 chelating제로 사용하여 줄을 합성하였다. 그 결과 acetylacetone을 첨가하지 않을 경우 non-wetting이 되거나, wetting이 되어도 작은 젤 덩어리들이 나타나는 등의 불균일 코팅 문제가 해결되었다.

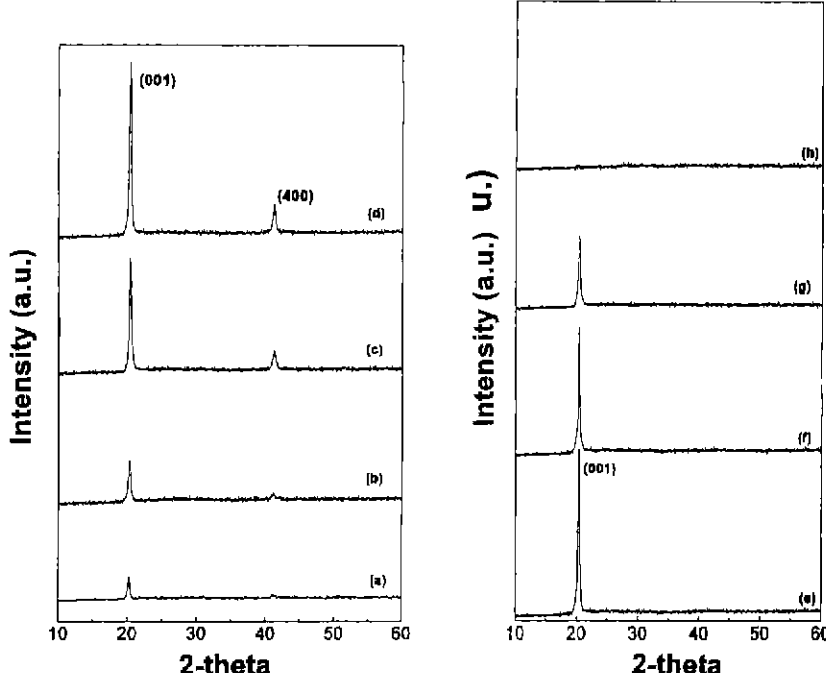
젤 분말의 최적 산화 열처리 조건을 규명하기 위하여 합성된 젤 분말에 대해 TG/DTA 분석을 행하여 그 결

Fig. 2. TG and DTA curves of the V_2O_5 gel powder.

과를 Fig. 2에 나타내었다. 줄의 합성조건에 따른 TG/DTA 결과는 큰 차이를 나타내지 않았다. Fig. 2를 보면 225°C에서 결정수의 탈수로 인한 무게 감량이 시작되어, 약 300°C 이상에서는 무게감량이 더 이상 진행되지 않

음을 알 수 있다. 또한 약 330°C 부근에서 발열 피크가 크게 나타나는데 이는 비정질의 젤 상이 결정질의 V_2O_5 로 전이되기 때문으로 판단된다. 측정시 DTA 가열속도는 10°C/min이지만 실제 박막의 열처리 시에는 승온속도를 1°C/min로 하여 500~650°C까지 승온 후 최종 온도에서 6시간 유지함으로써 상전이가 완전하게 이루어 지도록 하였다.

합성된 젤 박막으로부터 V_2O_5 박막을 얻기 위한 최적의 산화 열처리조건을 규명하기 위하여, 여러 온도에서 산화 열처리된 시편에 대해 XRD 분석을 행하여 그 결과를 Fig. 3에 나타내었다. 100~250°C에서 열처리된 시편의 경우 완전한 V_2O_5 결정이 형성되지 않은 반면, 300°C에서 산화 열처리된 시편은 V_2O_5 결정상이 완전히 형성되었음을 나타낸다. 그러나 350°C에서 열처리된 경우(Fig. 3(e)), 300°C에서 형성되었던 V_2O_5 의 (400)면 피크가 소멸되며, 그 이상의 열처리 온도에서는 V_2O_5 의 주피크인 (001)면이 점차 감소하여 500°C에서는 V_2O_5 결정피크가 완전 소멸되었다(Fig. 3(f~h)). 이러한 XRD 분석결과로 부터, V_2O_5 생성을 위한 적정 열처리 온도는 300°C 부근임을 알 수 있었다. 또한 1회 코팅한 시편으로 XRD 분석을 한 결과, V_2O_5 의 주 피크인 (001)면은 나타났지만 (400)면 피크는 나타나지 않음을 확인하였다. 이로부터 1회 코팅으로 얻어진 V_2O_5 박막

Fig. 3. XRD patterns of 4-layered V_2O_5 thin films on borosilicate substrate at various temperatures for 30 min. (a) 100°C (b) 200°C (c) 250°C (d) 300°C (e) 350°C (f) 400°C (g) 450°C and (h) 500°C.

두께 정도로는 XRD로 감지하기 어렵다고 판단하여 본 연구에서는 4회 코팅을 기준으로 정하였다.

상온 부근에서 thermochromic 스위칭 현상을 나타내는 바나듐 산화물은 VO_2 상이다. 합성된 V_2O_5 를 VO_2 로 상전이 시키기 위하여는 환원 열처리가 필요하다. 본 실험에서는 진공상태의 투브로에 N_2 가스를 주입하면서 승온속도 1°C/min. 온도 500~650°C, 유지시간 6시간으로 환원 열처리를 행하였다. 환원 열처리된 박막 시편의 XRD 분석결과를 Fig. 4에 나타내었다. Fig. 4(a)는 500°C에서 환원 열처리된 시편으로 VO_2 가 생성되기는 하였으나 Fig. 3에서는 보이지 않았던 V_2O_5 의 (200)면이 성장되었다. 즉 500°C의 열처리 조건에서는 완전한 환원이 이루어지지 않음을 알 수 있다. 500°C로 열처리된 시편에서 V_2O_5 의 (200)면이 성장된 것은 Fig. 3의 시편과는 달리 환원 분위기에서 열처리되었기 때문으로 이에 대한 정확한 규명은 추가 실험이 필요하다고 사료된다. 550, 600, 650°C에서 열처리된 시편들은 모두 비슷하게 VO_2 의 XRD 피크특성을 나타내었다(Fig. 4(b~d)). 이로부터 550°C 이상의 열처리 온도에서만 V_2O_5 에서 VO_2 로의 환원이 가능함을 알 수 있다. 또한 550°C 이상에서 열처리된 각 시편의 XRD 피크강도를 상대 비교한 결과, 600°C에서 환원 열처리된 시편의 VO_2 결정피크가 가장 높은 것으로 나타나. 이로부터 V_2O_5 를 VO_2 로 상전이 시키기 위한 최적 환원 열처리온도는 600°C로 확인되었다. 650°C 이상의 온도로 열처리하면(Fig.

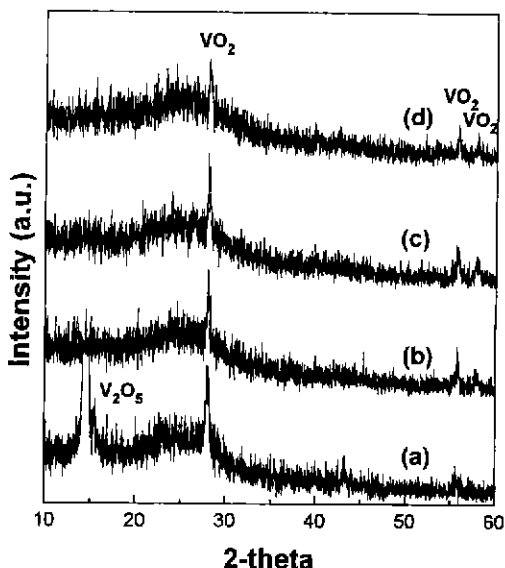


Fig. 4. XRD patterns of VO_2 thin films reduced at various temperatures. (a) 500°C (b) 550°C (c) 600°C and (d) 650°C.

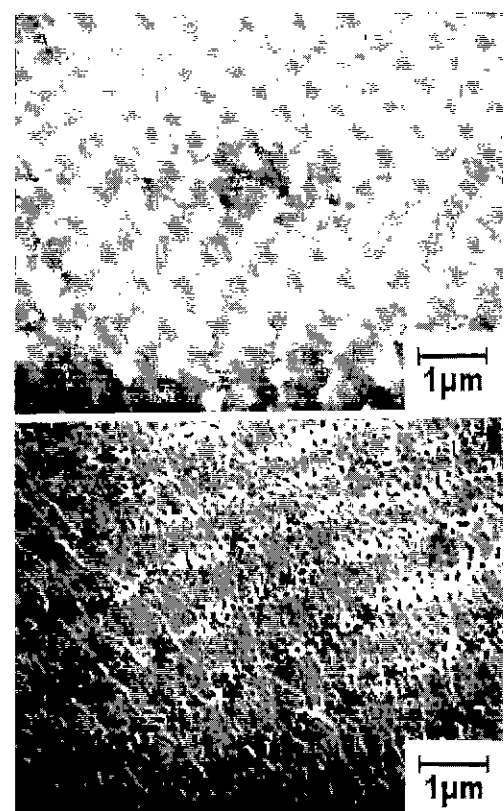


Fig. 5. SEM micrographs for vanadium oxide thin films coated on borosilicate substrate with two different reducing temperatures. (a) 450°C and (b) 600°C.

4(d)), VO_2 상의 XRD 피크가 600°C로 열처리된 시편에 비하여 감소한다.

합성된 4층 박막의 두께를 ellipsometer로 측정한 결과 약 500 nm 정도의 균일한 박막임이 확인되었다. 박막의 표면상태는 SEM을 이용하여 관찰하였으며 그 결과를 Fig. 5에 나타내었다. 450°C로 환원 열처리된 시편은(Fig. 5(a)) 박막표면이 거칠고 불균일하여 입자가 성장되지 않았음을 나타낸다. 한편 600°C로 환원 열처리된 시편은 입자모양이 균일하게 성장되었음을 보여준다(Fig. 5(b)).

최종적으로 얻어진 VO_2 박막의 thermochromic 스위칭 특성을 확인하기 위하여 파장이 2.5 μm인 IR에 대한 투과율을 온도의 함수로 측정하였다(Fig. 6, 7). 500°C에서 열처리된 시편은 상온에서의 IR 투과율이 50% 미만으로 창으로 사용되기 어렵다고 판단된다. 한편 600°C에서 열처리된 박막시편의 경우 상온에서의 IR 투과율이 83%로 500°C의 경우에 비해 높다. VO_2 의 monoclinic-tetragonal 간 전이 전후의 광투과율 변화크기, 변화기율

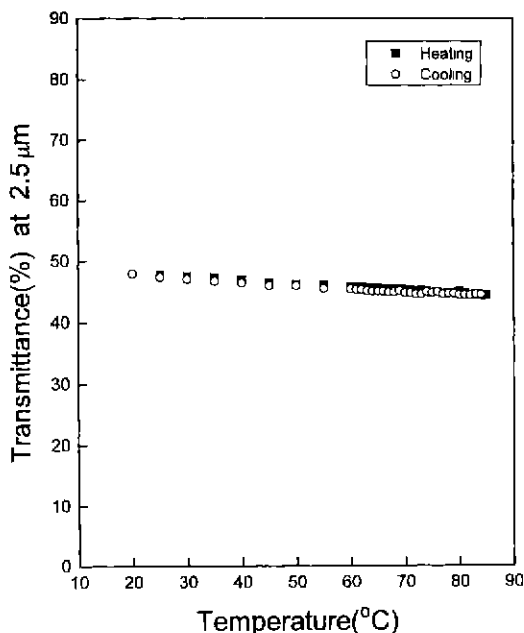


Fig. 6. Hysteresis curve of VO₂ thin films sintered at 500°C for 6hrs in N₂ gas.

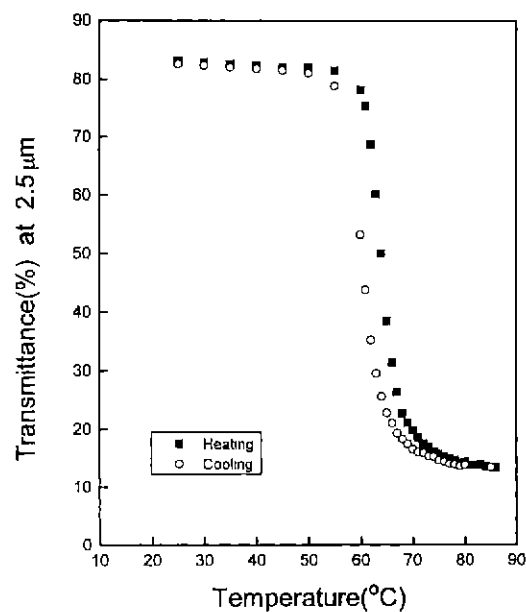


Fig. 7. Hysteresis curve of VO₂ thin films sintered at 600°C for 6hrs in N₂ gas.

4. 결 론

줄-겔법으로 VO₂ 박막을 합성하고 그 thermochromic 특성을 분석하였다. 바나듐 알콕사이드를 가수분해 시 H₂O/VO(OC₃H₇)₃ 몰 비가 1.167 일 때 가장 안정한 줄이 합성되었으며, 박막을 봉규산 유리기판에 형성하는 최적 코팅조건은 4,000 rpm, 4회 코팅이었다. 형성된 박막의 두께는 약 500 nm 정도로 균일하였다.

겔 박막을 V₂O₅ 박막으로 전이시키기 위한 산화 열처리조건은 300°C, 30분이 최적이었다. 또한 생성된 V₂O₅를 N₂ 분위기에서 600°C로 6시간 열처리함으로서 VO₂로 환원시킬 수 있었다. 합성된 VO₂ 박막은 과장이 2.5 μm인 적외선에 대해 63°C에서 thermochromic 스위칭 현상을 나타내었으며, 이때의 최대 및 최저 투과도는 각각 84%와 14%, 전이폭은 3.6°C로서 우수한 스위칭 특성을 보였다.

감사의 글

본 연구는 1995년도 교육부의 신소재 학술연구조성비 지원으로 수행되었으며 이에 감사드립니다.

REFERENCES

1. F.C. Case, "Modifications in the Phase Transition Pro-

- roperties of Predeposited VO₂ Films," *J. Vac. Sci. Technol.*, **A 2**(4), Oct/Dec, 1509 (1984).
2. F.C. Case, "Low Temperature Deposition of VO₂ Thin Films," *J. Vac. Sci. Technol.*, **A8**(3), May/Jun, 1395 (1990).
3. G.A. Nyberg and R.A. Buhrman, "High Optical Contrast in VO₂ Thin Films due to Improved Stoichiometry," *Thin Solid Films*, **147**, 111 (1987).
4. G.V. Jorgenson and J.C. Lee, "Doped Vanadium Oxide Optical Switching Films," *Solar Energy Materials*, **14**, 205 (1986).
5. D.P. Partlow, S.R. Gurkovich, K.C. Radford and L.J. Denes, "Switchable Vanadium Oxide Films by a Sol-Gel Process," *J. Appl. Phys.*, **70**(1), 443 (1991).
6. H. Hirashima and K. Sudoh, "Preparation and Physical Properties of V₂O₅ Aerogels," *Mat. Res. Soc. Symp. Proc.* **271**, 573 (1992).
7. K.R. Speck, H.S.-W. Hu, R.A. Murphy and R.S. Potember, "Sol-Gel Growth of Vanadium Dioxide Phase Transition Materials," in Ultrastructure Processing of Advanced Materials, Eds., D.R. Uhlmann and D.R. Ulrich, 641 (1992).
8. J.K. Bailcy, T. Nagase, G.A. Pozarnsky and M.L. Mecartney, "Vanadium Pentoxide Gels: Structural Development and Rheological Properties," in Better Ceramics Through Chemistry IV, Eds., B.J.J. Zelinski, C.J. Brinker, D.E. Clark and D.R. Ulrich (Mat. Res. Soc., Pittsburgh, Pa., 1990), 759.
9. R.S. Potember and K.R. Speck, "Optical Switches Based on Vanadium Dioxide Films Grown by the Sol-Gel Process," *Ibid.*, 753.
10. K.R. Speck, H.S.-W. Hu, R.A. Murphy and R.S. Potember, "Vanadium Dioxide Films Grown from Vanadium Tetrakis (t-Butoxide) by the Sol-Gel Process," in Better Ceramics Through Chemistry III, Eds., C.J. Brinker, D.E. Clark, and D.R. Ulrich (Mat. Res. Soc., Pittsburgh, Pa., 1988), 667.
11. C. Sanchez, M. Nabavi and F. Taulelle, "Synthesis and Characterization of Vanadium Oxide Gels from Alkoxy-vanadate Precursors," *Ibid.*, 93.
12. H. Hirashima, K. Tsukimi and R. Muratake, "Formation of V₂O₅ Gels from Vanadyl Alkoxide," see reference [7] 285.
13. C.B. Greenberg, "Undoped and Doped VO₂ Films Grown from VO(OC₂H₅)₂," *Thin Solid Films*, **110**, 73 (1983).
14. J.B. Goodenough, "The Two Components of the Crystallographic Transition in VO₂," *J. Solid State Chem.*, **3**, 490 (1971).
15. E.E. Chain, "The Influence of Deposition Temperature on the Structure and Optical Properties of Vanadium Oxide Films," *J. Vac. Sci. Technol.*, **A4**(3), May/Jun, 432 (1986).
16. K.A. Khan and C.G. Granqvist, "Thermochromic Sputter-deposited Vanadium Oxyfluoride Coatings with Low Luminous Absorptance," *Appl. Phys. Lett.*, **55**(1), 3 July, 4 (1989).
17. J.F. De Natale, P.J. Hood and A.B. Harker, "Formation and Characterization of Grain-oriented VO₂ Thin Films," *J. Appl. Phys.*, **66**, 12, 5844 (1989).